

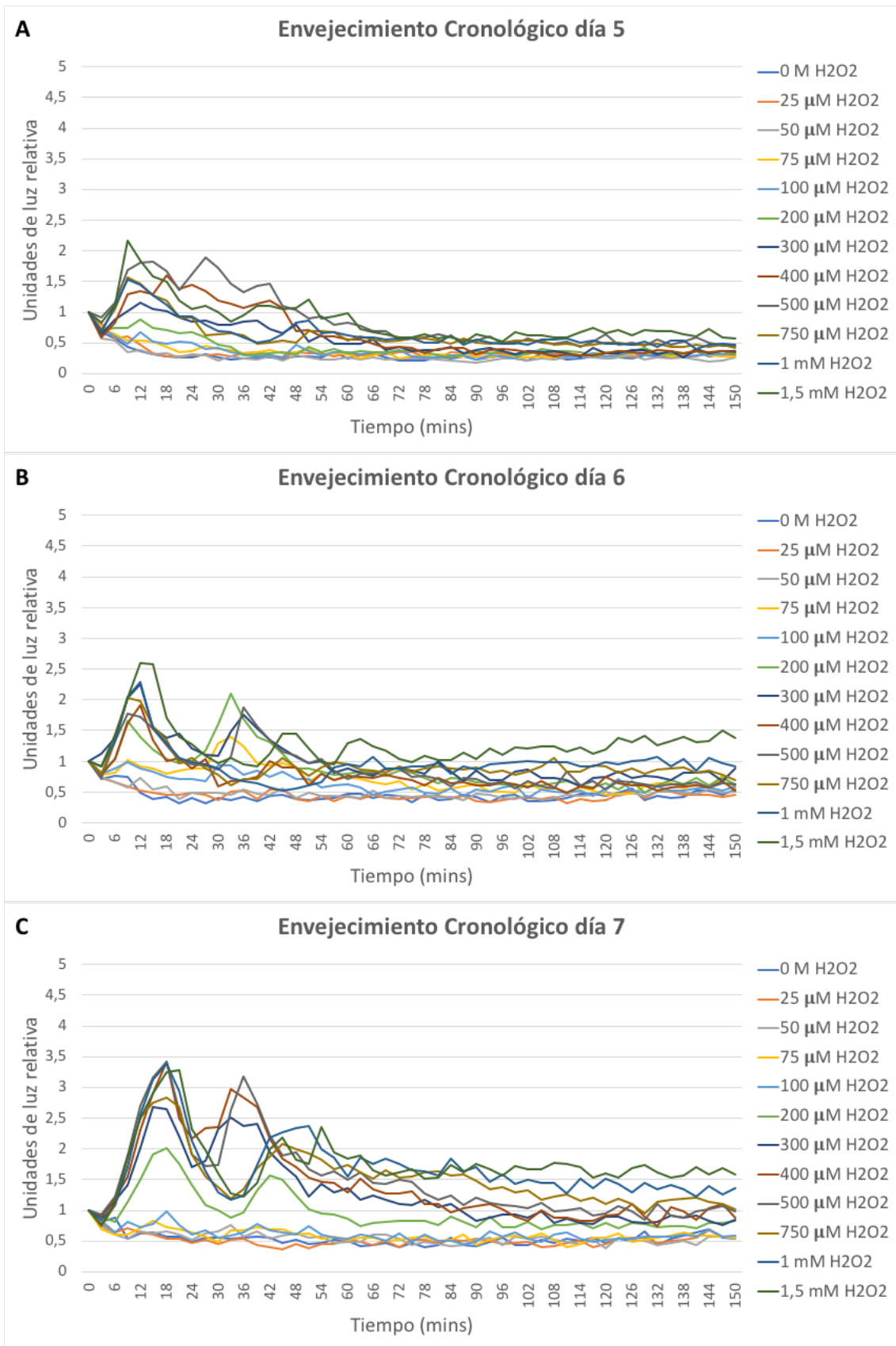
Anexos

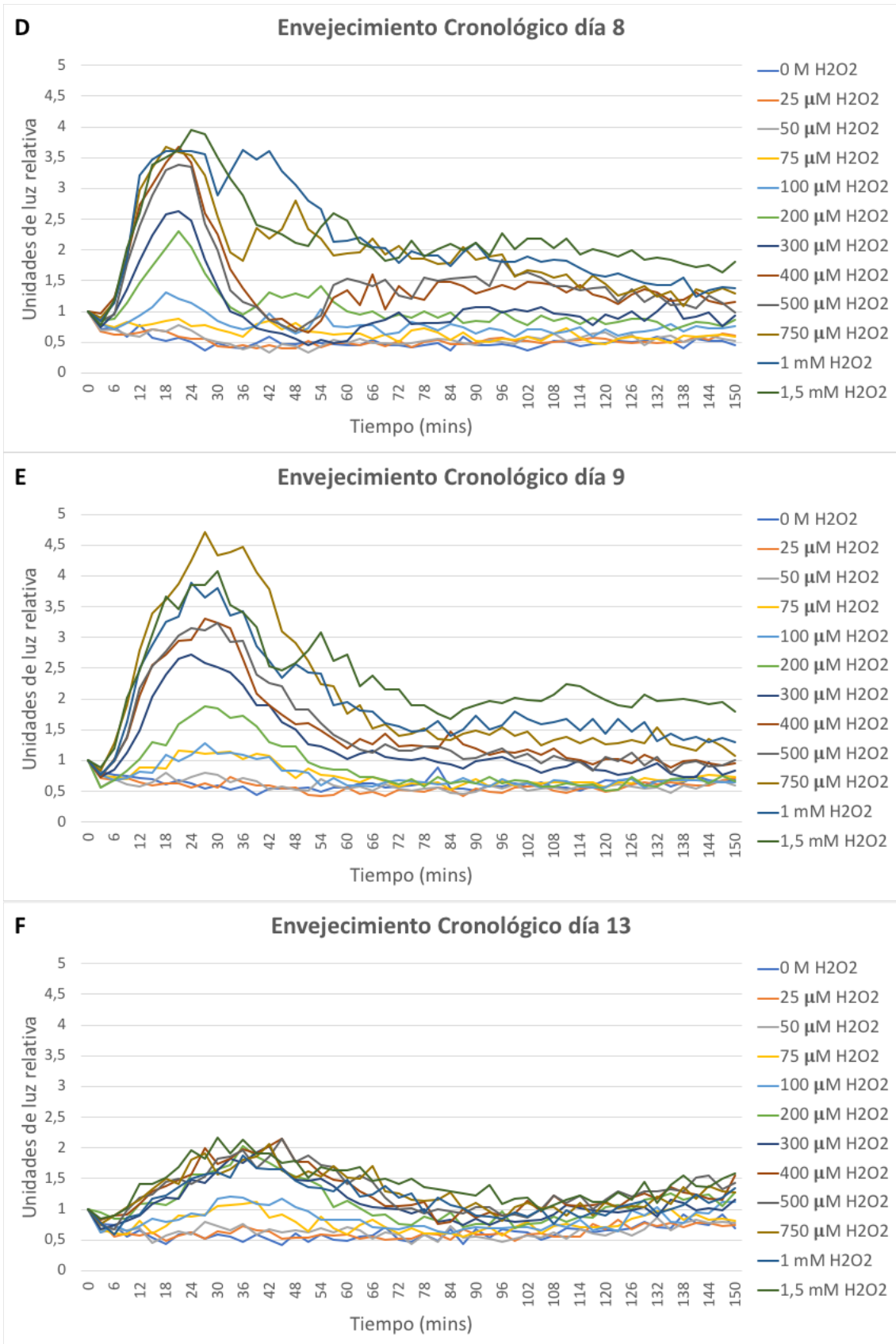
ANEXO I

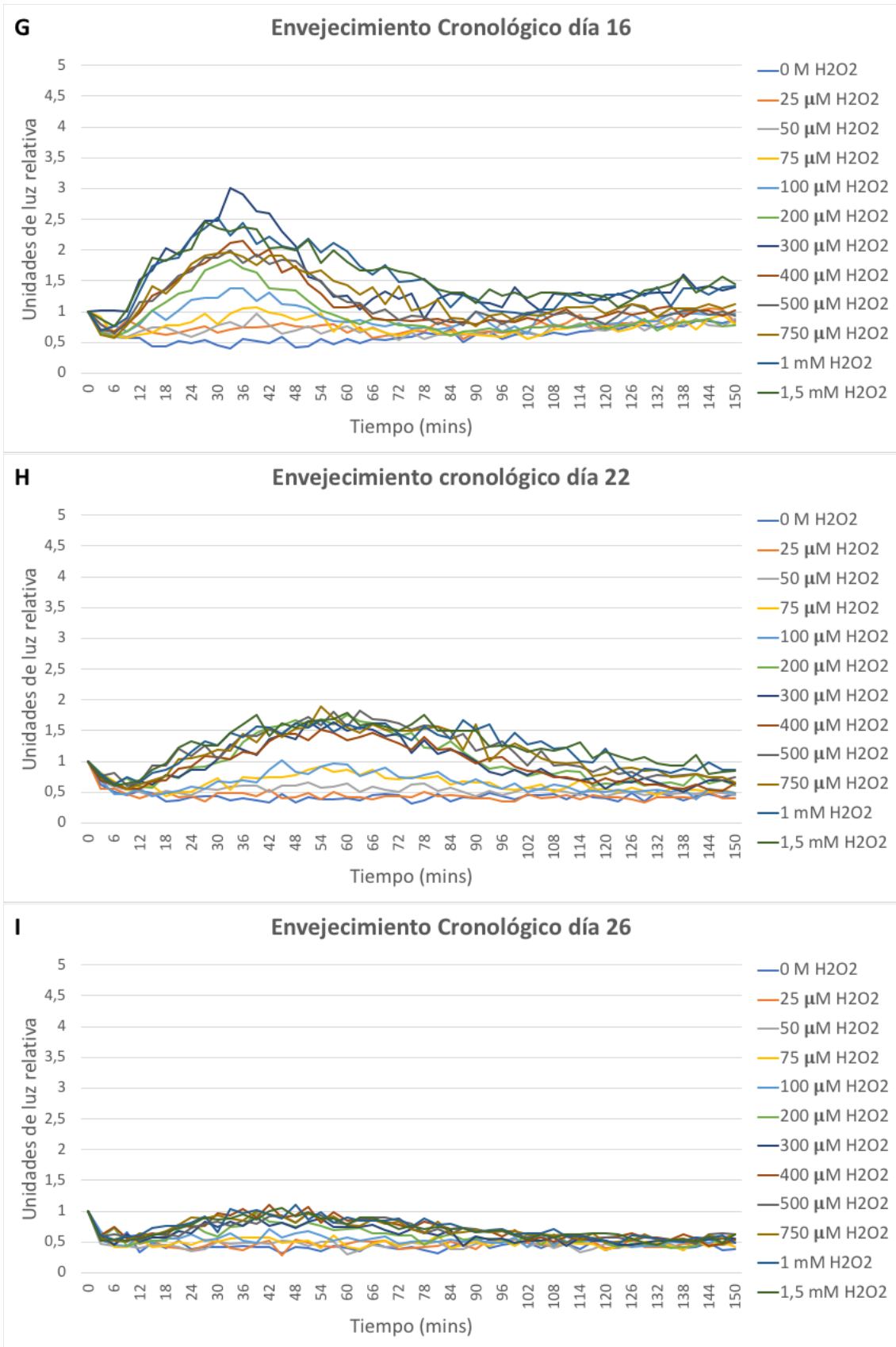
Tabla 1. Cebadores empleados y sus secuencias.

Cebador	Secuencia
SOD2-luc-fw	5' TTCTCTGTCTCATGCCAATAAGATCAATCAGCTCAGCTTCACAACCATGGCCGA TGCTAAGAAC 3'
SOD2-luc-rev	5' TTATGGAGATATAATTACGAATAATTATGAATAAATAGTGCTGCCGCATAGGCCA CTAGTGGATCTG 3'
SOD2-Chk-luc	5' CGCGACCTTAAACCTGGACC 3'
LucSeqRev	5' GGTGATGTCCACCTCAATG 3'

ANEXO II







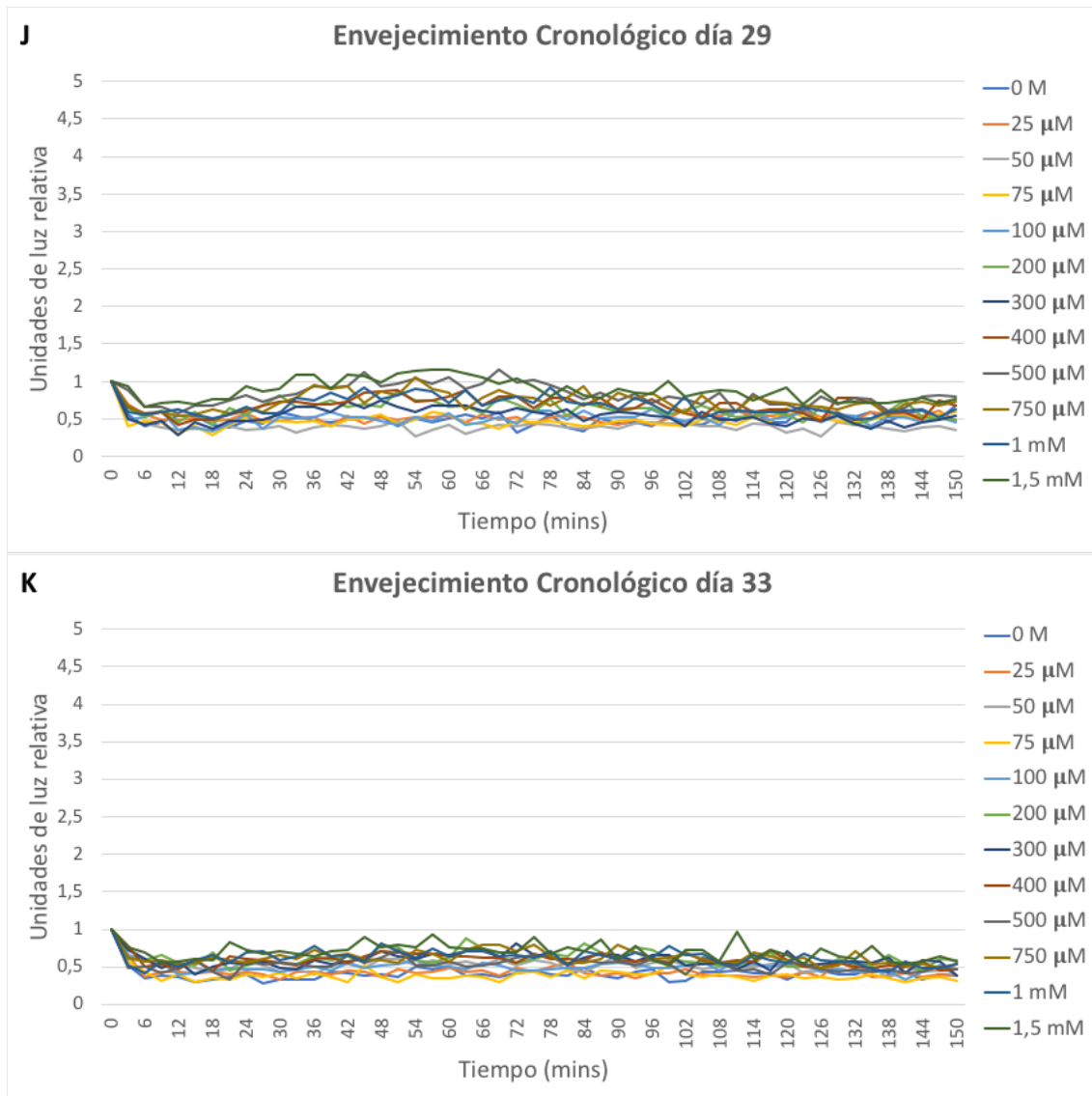


Figura 1. Caracterización de la dinámica transcripcional del gen reportero *SOD2* en respuesta a un baremo de concentraciones de H_2O_2 durante el envejecimiento cronológico de la cepa UCC4925. Curvas dosis-respuesta obtenidas al inducir el promotor *SOD2* con un baremo de concentraciones de H_2O_2 de 0 a 1,5mM en la cepa UCC4925 el día 5 (A), 6 (B), 7 (C), 8 (D), 9 (E), 13 (F), 16 (G), 22 (H), 26 (I), 29 (J) y 33 (K) durante 150 minutos.

ANEXO III

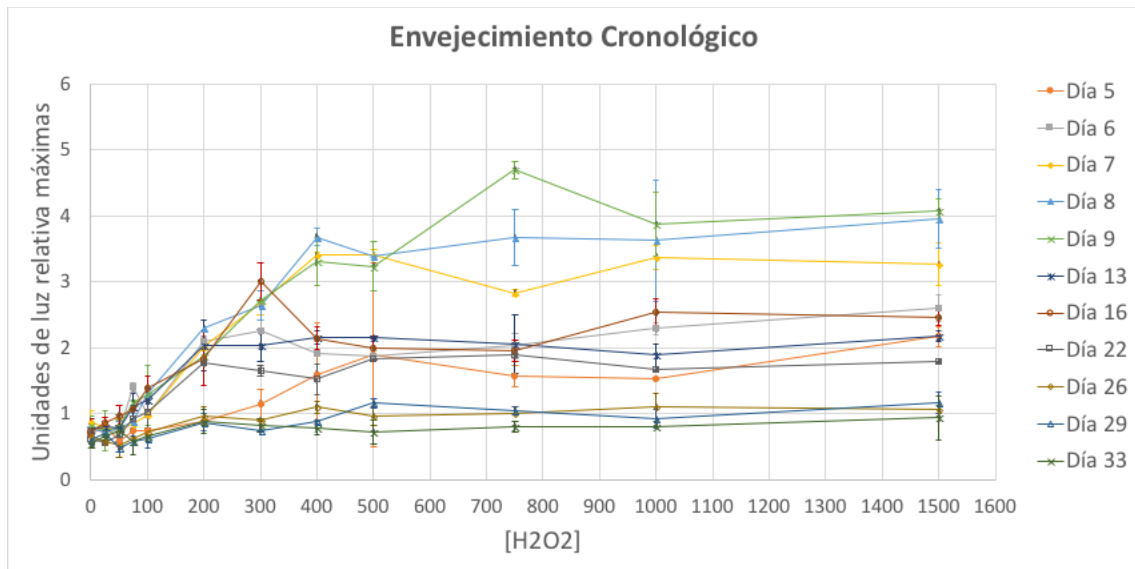


Figura 2. Actividad máxima de *SOD2* frente a concentración de H₂O₂ durante el envejecimiento cronológico de la cepa UCC4925. Representación de las unidades de luz relativa máximas frente a las doce concentraciones de H₂O₂ ensayadas once diferentes días en la cepa UCC4925 con el gen reportero *SOD2* durante el envejecimiento cronológico.